167

UNIVERSIDAD NACIONAL AUTONOMA OF MENICO





EVALUACION DE PROPIEDADES FISICOMECANICAS Y ASPECTOS REOLOGICOS DEL POLIETILENO ALTA DENSIDAD PARA RECUBRIMIENTO DE TUBERIAS

PARA OBTENER EL TITULO DE INGENIERO QUIMICO PRESENTA

ERNESTO SANCHEZ COLIN

México, D. F.

D. G. B. - UNAM





UNAM – Dirección General de Bibliotecas Tesis Digitales Restricciones de uso

DERECHOS RESERVADOS © PROHIBIDA SU REPRODUCCIÓN TOTAL O PARCIAL

Todo el material contenido en esta tesis esta protegido por la Ley Federal del Derecho de Autor (LFDA) de los Estados Unidos Mexicanos (México).

El uso de imágenes, fragmentos de videos, y demás material que sea objeto de protección de los derechos de autor, será exclusivamente para fines educativos e informativos y deberá citar la fuente donde la obtuvo mencionando el autor o autores. Cualquier uso distinto como el lucro, reproducción, edición o modificación, será perseguido y sancionado por el respectivo titular de los Derechos de Autor.

INDICE

1.0	RESUMEN 1
2.0	INTRODUCCION Y OBJETIVOS
3.0	GENERALIDADES
	A) CARACTERISTICAS DEL POLIETILENO 8
	A.1) ASPECTOS ESTRUCTURALES 10
	B) FRACTURACION AMBIENTAL 13
	C) EFECTO DE LA HISTORIA TERMICA 17
4.0	PARTE EXPERIMENTAL 23
	A) MATERIALES
	B) PREPARACION DE MUESTRAS 25
	C) TECNICAS 26
5.0	RESULTADOS Y DISCUCIONES 32
	A) RESULTADOS DEL HUESTREO32
	B) ANALISIS DE LA COMPOSICION
	C) DETERMINACION DEL GRADO DE CRISTALINI
	DAD 33
	C.1) DETERMINACION DE DENSIDADES 36
	C.2) AHALISIS TERMICO
	C.3) ANALISIS DE RAYOS X
	D) DETERMINACION DE LAS PROPIEDADES MECAN <u>i</u>
	CAS 43
	D.1) RESISTENCIA A LA TENSION 43
	D.2 RESISTENCIA A LA FRACTURACION AMBIEN_ TAL

	E) ESTUDIO MORFOLOGICO		• •	• • •	•••	٠. •	•	• •	• • •	49
	E.1) MICROSCOPIA ELECTR	ROHICA								49
	F) ESTUDIO REOLOGICO							• •	· • • •	55
	F.1) REOLOGIA	• • • • •	• • •			• • •		• 3 .		55
6.0	CONCLUSIONES	· • • • · ·	٠.,					٠.		58
7,0	APENDICE			٠.	. 		• •	٠.	 .	60
8 0	RIBLIOGRAFIA									76

1.0 RESUMEN

En el sector eléctrico se ha venido utilizando polietileno alta densidad para recubrir tuberfa de acero, empleada en conducción de líneas de alto voltaje de distribución subterranea.

Uno de los problemes que se han presentado en este tipo de recubrimientos ha sido la aparición de diversos tipos de fracturas, que acortan la vida media útil de la tubería, así como, -- las condiciones de operación del tendido eléctrico.

Este trabajo se concretó al estudio de un tipo de fracturra longitudinal; fractura que se propaga a lo largo de la tubería y que es semejante a la producida por el corte de una navaja. Su objetivo es determinar las posibles causas que provocan este tipo de fractura, tales como: características de la matería prima (densidad 6 grado de cristalinidad, etc.), condiciones inadecuadas en el procesamiento (temperatura, velocidad de
extrusión, rapidez de enfriamiento) 6 imperfecciones en el equi

po de procesamiento. El análisis de estas causas posibles, se realizó a través del estudio comparativo entre muestras de rec<u>u</u>
brimientos que han sufrido este tipo de fractura contra las que
no la han experimentado.

Este análisis, se llevó a cabo mediante el análisis físico-mecánico, difracción de rayos X , análisis infrarrojo, microscopía de barrido electrónico, calorimetría diferencial de barrido y fracturación ambiental de los recubrimientos. Así mis mo se efectuó un estudio reológico de la materia prima empleada recientemente en la elaboración de estos recubrimientos para establecer si la existencia de las fracturas se puede atribuir a determinadas condiciones de procesamiento ó las características físico-químicas del polietileno.

2.0 INTRODUCCION Y OBJETIVOS

El potencial de consumo que existe, ha incrementado notablemente la producción de polímeros para diversas aplicaciones, en especial, el polietileno ha sido el polímero de mayor comercialización. Inicialmente fue introducido al mercado como material dieláctrico, pero a medida que se evaluarón sus propiedades, su demanda se incrementó. Las propiedades más sobresalientes de este polímero son:

- a) Baio costo.
- b) Fácil procesabilidad.
- c) Buenas propiedades dieléctricas.
- d) Resistencia a los productos químicos.
- e) Buenas propiedades ópticas.
- f) Baja dureza y buena flexibilidad.
- g) Resistencia al medio ambiente.
- h) Alta resistencia mecánica.
- i) Buen brillo superficial.
- i) Libre de olores y tôxicidad.

EXISTEN DOS PLANTAS CON CAPACIDAD

10 000 TON/AÑO

2. 1000 000 TON/AÑO

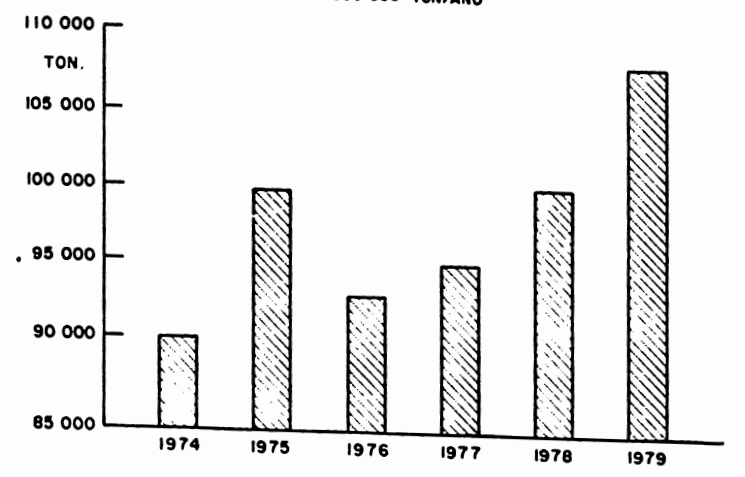


FIG. 1 PRODUCCION DE POLIETILENO, ALTA Y BAJA DENSIDAD GENERALMENTE EL USO ES PARA EMPAQUE ANUARIO DE LA S.P.F.I. MEXICO.

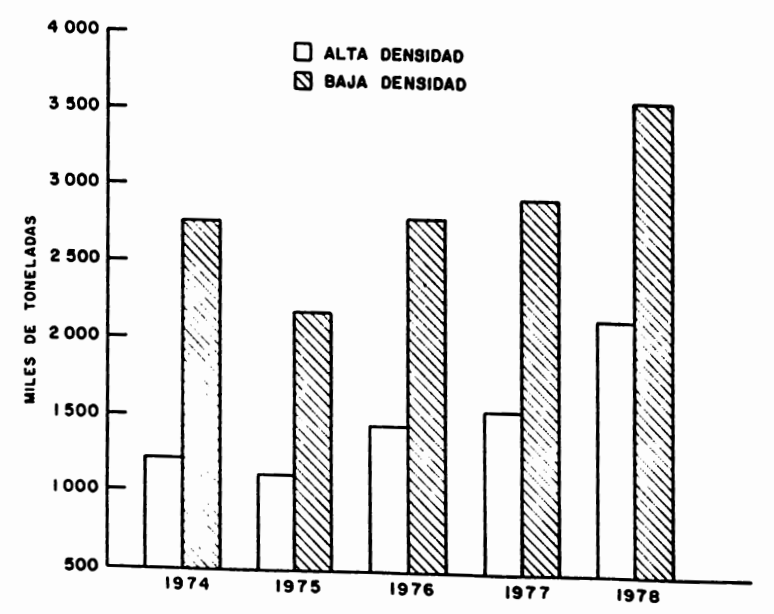


FIG. 2 PRODUCCION DE POLIETILENO ALTA Y BAJA DENSIDAD EN EUROPA Y E. U.

Sin embargo también presenta limitaciones:

-) Baja resistencia al rasgado.
- b) Material opaco en películas gruesas.
- c) Baja resitencia al intemperismo y fracturación ambiental.
- d) Baja regidez,
- e) Alta permeabilidad a los gases.

Por las propiedades ya mencionadas el polietileno ha tenido gran demanda en los campos de la industría eléctrica (recubrimientos, aislantes, etc.), en la industría de envases y embalaje (elaboración de artículos de uso domestico), en la fabricación de partes específicas (para la comunicación, ---agricultura, electrónica), en la industría automotriz (partes mecánicas), en la industría de la construcción (ductos y otros artefactos), etc.

En la figura 1 se muestra la producción nacional en los Gitimos cinco años y en la figura 2 la producción y consumo en los Estados Unidos de Norteamérica y Europa.

Como se puede observar en la figura 2 existe un déficit de la producción de polietileno en Europa y los Estados Unicdos de Norteamérica. En México, la demanda de polietileno es satisfecha por la producción nacional y las importaciones que se realizan.

A) OBJETIVOS

En especial en la industria eléctrica se ha venido uti-

lizando polictileno alta densidad para recubrimientos de tubería de acero empleada en la instalación de cables subterraneos de alto voltaje.

Como se mencionó en el resumen los recubrimientos sufren - fracturas longitudinales. Las causas de este tipo de fractura, pueden tener su origen en una serie de factores tales como: una densidad inadecuada (grado de cristalinidad) de el polietileno alta densidad condiciones de procesamiento (temperatura, velocidad de extrusión, rapidez de enfriamiento, etc.), durante la extrusión y recubrimiento de la tubería y/o la existencia de imperfecciones en el equipo de procesamiento, etc. Por lo tanto el objetivo principal de este trabajo es determinar las causas que producen la aparición de esta fractura que aparentemente corresponden a la llamada fracturación ambiental.

3.0 GENERALIDADES

Se presentan en esta primera parte, las características - más importantes del polietileno, así como las características - de los procesos de fracturación ambiental, y los efectos en las propiedades físico-mecánicas del polietileno causadas por la -- historia térmica a que es sometido (Reología).

A) CARACTERISTICAS DEL POLIETILENO

El polietilano es un termoplástico formado por cadenas alifáticas hidrocarbonadas como se muestra en la figura 3.

$$\begin{bmatrix} -\frac{1}{5} - \frac{1}{5} - \frac{1}{5} - \frac{1}{5} - \frac{1}{5} \\ -\frac{1}{5} - \frac{1}{5} - \frac{1}{5} \end{bmatrix}_{n}$$
FIGURA 3

El polietileno es en esencia una perafina de alto peso molecular, con resistencia al ataque químico, baja energía cohesiva (parametro de solubilidad) por lo cual tiene alta resistencia a los disolventes. La flexibilidad de las uniones - C - C - le infleren una baja temperatura de transición vitrea (- 120° C) y le permite tener un alto grado de cristalinidad (65 % - 90 %) Debido a las bajas fuerzas intermoleculares el punto de fusión de los polímeros comerciales varía entre 110 - 135° C. $^{(g)}$)

Los polímeros comerciales disponibles varian en sus propi<u>e</u> dades unos de otros debido principalmente:

- a) Variación en el grado de ramificaciones.
- b) Variación en el peso molecular.
- c) Variación de la distribución de pesos molecularea (polidispersidad).
- d) Presencia de impurezas, aditivos o cargas.

La presencia de ramificaciones disminuye la flexibilidad de la cadena y por lo tanto el grado máximo de cristalinidad y la densidad del polietileno. Los polietilenos altamente remificados presentan muy baja densidad, bajo punto de fusión, bajo punto de cedencia, y una alta permeabilidad a gases y vapores.

Por otra parte la variación de los pesos moleculares generan diferencias en las propiedades del polititieno. El peso molecular afecta fundamentamente las propiedades que involucran grandes deformaciones, como son: resistencia a la deforamción, elongación a la ruptura, viscosidad del polímero fundido, etc. El incremento del peso molecular melora la resistencia a la fractura-

ción ambiental.

La variación de la distribución del paso molecular en especial el abatimiento de la polidispersidad aumenta la resistencia al impacto, tensión, tenacidad, punto de ablandamiento y resistencia a la fracturación ambiental.

Le presencia de impurezas (residuos metálicos, catalizado res, grupos carbonilos) que pueden incorporarse a las cadenas tienen un fuerte efecto en la resistencia ambiental y al punto de fusión.

El polietileno comercialmente se produce en dos grados: polietileno baja densidad y polietileno alta densidad. El primero se emplea en un alto porcentaje en el moldeo de artículos (uso doméstico, juguetes, envases y embalaje, recubrimientos de papel, recubrimientos de cables, elaboración de películas.etc.). El polietileno alta densidad generalmente tiene usos específicos (recubrimientos, plezas automotrices, recubrimientos de tuberías, fabricación de envases por inyección, laminados, perfiles, tuberías, etc.).

A.1 ASPECTOS ESTRUCTURALES

Como se ha señalado la flexibilidad de la cadena del polietileno permite que el material sólido adquiera una estructura cristalina.

En general el polietileno cristaliza en una estuctura ortogonal cuya celda unitaria es mostrada en la figura $\hat{\mathbf{h}}$.

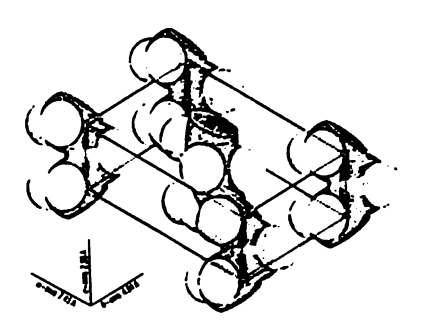


FIGURA 4 . CELDA UNITARIA DEL POLIETILENO

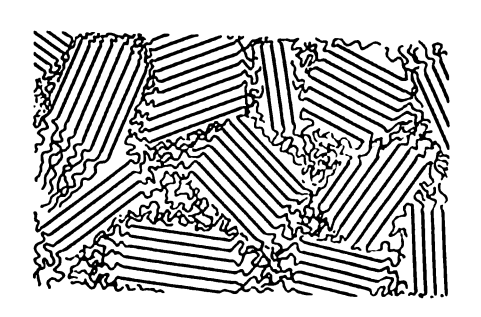


FIGURA 5 . FASE AMORFA Y CRISTALINA DEL POLIETILENO

Los parámetros de esta celda unitaria son: $a = 7.41 \, \text{\AA}$, $b = 4.94 \, \text{\AA}$, $c = 2.55 \, \text{\AA}$. Este Gitimo parámetro corresponde a la distancia classica cual es idéntica con la distancia repetitiva de la configuración completamente en zig zag. (9)

Aunque los estudios de difracción de rayos X hechos en po límeros cristalizados a partir de la fusión muestran algunos ha chos que indican cierto orden cristalino, la reflexión de Brago aparecen bandas anchas y difusas comparadas con las obtenidas de los monocristales. (10) La teoria de difracción indica que este ensanchamiento de las bandas de reflexión pueden deberse a zonas cristalinas de tamaño pequeño d a la presencia de defec-tos en la red cristalina, sin embargo. Los patrones de difrac-ción de los polímeros son demasiado débiles (difusos) para permitir una discriminación entre estas dos posibilidades por lo que históricamente la hipótesis de la presencia de zonas --cristalinas pequeñas a sido tomada como la más probable. Bajo esta consideración los patrones de difracción indican que la zo na cristalina tan solo en algunos casos en 100 8(16) Estos na-trones sugieren la cohexistencia de una apreciable región amor-(9)

El modelo estructural propuesto a partir de esta observación es el llemado " modelo de listones ", en el cual se sugiere que algunas fracciones o cadenas de polímeros se alinean a lo largo de distancias que corresponden a las disminuciones de la región cristalina este modelo se muestra en la figura 5 , -los dobleces representan la transición del material la fase --- cristalina a la fase amorfa:(9)

B) FRACTURACION AMBIENTAL

Uno de los objetivos del diseño es establecer tiempos de servicio rezonable de los productos terminados; por ejemplo se específica un recubrimiento piástico para un cable, considerando el tiempo de servicio que se espera del mismo. Sin embargo, si se presenta una falla catastrófica (fracturación ambiental) es importante determinar la probabilidad de su ocurrencia y las causas que lo producen.

En especial, en algunas aplicaciones del polietileno como como son recubrimientos de cables, recipientes de cosméticos, - se han encontrado que bajo ciertas condiciones el polietileno - sufre una fracturación. Si esta fracturación sucede cuando el -polietileno esta expuesto a algunos agentes químicos como son: jabones, alcoholes, aceites, grasas y además sujeto a un esfue<u>r</u> zo poliaxial, se dice que sucede una fracturación ambiental.

La fracturación ambiental es una falla frágil iniciada en la superficia de una muestra de polictileno sujeta a esfuerzos poliaxiales en contacto con un medio, en ausencia del cual, no ocurre aun bajo las mismas condiciones de esfuerzos. Las combinaciones de esfuerzos externos y/o internos determinan conjuntamente con la sensibilidad del medio el tipo de fracturación. El medio puede ser un gas, líquido, semi-sólido. sólido.

tata definición cubre las caracteríaticas de este fenómeno

que son:

La primera que es la iniciación en la superficie que en -ausencia de puntos focales de esfuerzos no ocurre. Carry (10) notó este efecto comparando el comportamiento de muestras inyecta
das libres de cortes y muestras con cortes del mismo material,
observando que en estas últimas se produce la fracturación.

La segunda característica de fracturación embientel es ser de naturaleza frágil cuando se exemina la superficie fracturada bajo una modesta amplificación la fractura aparece típicamente escamosa mostrando arrugamiento. En la figura 6 se aprecia la superficie de un cable de políetileno donde presenta la fracturación ambiental. Sin embargo, el examen bajo aplificaciones su ficientemente grandes muestra la existencia de un tensado en serio a escala local, lo cual sugiere que mientras el grueso de la falla es frágil existen ciertos puntos que experimentan deformaciones dúctiles (tensado en frío).

Una tercera característica de este fenómeno es que se requiere la presencia de un esfuerzo, (por lo menos en polietileno de alto peso molecular) de tipo poliaxial. Ha sido demostra
do que el esfuerzo responsable de la falla es generalmente el resultado de una combinación de los esfuerzos externamente apli
cados y los esfuerzos internos residuales generados durante los
procesos de moideo o extrusión o bién a la presencia de injertos o contaminantes. La contribución de cada una de estes verfa



FRACTURA DE SUPERFICIE TIPICA DEL POLIETILENO (7)

FIGURA 6

considerablemente. En algunos casos los esfuerzos internos generados por rápidos enfriamientos pueden aumentar al aplicar los esfuerzos internos. Hientras que en otras, ambos esfuerzos pueden cancelarse mutuamente. En algunos casos, en polímeros cristalinos de alto peso molecular, los esfuerzos internos son de tal magnitud que pueden ocurrir aun sin esfuerzos externos; en poliolefinas, sin embargo, tales hechos usualmente involucran una fracturación térmica u oxidativa más que una fracturación ambiental.

La cuarta característica de la fracturación ambiental es que esta se efectúa por la presencia de un agente sensitivo, -tal como detergentes, aceites, etc.

En algunos casos el medio ambiente que afecta es diffcil - identificarlo, para el caso se recurre cuidadosamente al análisis de todos los factores involucrados para establecer si el madio ambiente que produce la fracturación ambiental es de tipo - térmico, ó fatiga estática u otros factores.

En conclusión este tipo de fracturación se caracteriza por que se inicia en la superficie y es de naturaleza frágil y además, es un fenómeno puramente físico que no involucra cambios - químicos. Este último hecho lo distingue de la fracturación e--lectroquímica y por oxidación.

Además, las variables internas estan ligades con las características mismas del polímero, por ejemplo, existe una fuerte dependencia con el peso molecular. En el caso del polietileno, la resistencia a la fracturación se incrementa cuando el findice de fusión decrece y el peso molecular se incrementa. Así mismo, la polidispersidad es un potente contribuyente al comportamiento del material en presencia de agentes que puedan provocar la fracturación ambiental. Se ha observado que en los polietilenos de mayor polidispersidad la resistencia a la fracturación am---biental es menor.

Otro factor que debe considererse en la fracturación em--biental es el grado de cristalinidad. En polietilenos con alta
densidad (alto grado de cristalinidad) la resistencia a la -fracturación ambiental es muy pequeña, la razón de este hecho -ha sido explicado ya que la fracturación de los sólidos cristalinos se realiza solo despues del apliamiento de dislocación -que genera la formación de micro-fallas, las cuales se propagan
posteriormente y causan la ruptura ó fractura.

C) EFECTO DE LA HISTORIA TERMICA

Les propiedades físico-mecânicas de los productos terminados a base de materiales termoplásticos dependen fuertemente de la historia térmica a que fueron sometidos durante se procesamiento, por lo cual el control durante el proceso de los políme ros fundidos es importante para sus aplicaciones finales.

La Reología estudia la deformación y flujo de los materiales plásticos siendo de interés la relación esfuerzo-fuerza---tiempo. Los materiales plásticos sometidos a esfuerzos en estado fundido exhiben un comportamiento viscoso-elástico que ha sido tratado mediante diversos modelos.

Las teorías que han contribuido al desarrollo de estos modelos son: Ley de HOOKE, Ley de NEWTON, Ley de POISEVILLE'S, la Ley de ARRHENIUS.etc.

Ley de Hooke. Establece que un material se deforma proporcionalmente al esfuerzo es decir: por lo tanto

S= Esfuerzo de corte Y= Rapidez de corte E= Elasticidad

Ley de Mewton. Establece que todo fluido que tiene un comportamiento newtoniano, el esfuerzo de corte es proporcional a la velocidad de flujo. La ecuación es:

M - Viscosidad
s - Esfuerzo de corte

dy- Velocidad de flujo

En la ecuación enterior se nota que la viscosidad permanece constante, es decir, el esfuerzo de corte varia con la velocidad de flujo, aunque los polímeros son materiales no newtonianos en un momento dado (cuando la rapidez de corte es baja) se comportan como un newtoniano, la ecuación de newton establece que la rapidez de corte no modifica la velocidad para flujos newtonianos.

La resistencia que opone un fluido en las peredes de un -ducto esta relacionada con la viscosidad y conociendo las características del ducto podemos calcular la viscosidad. Poiseville
's establece la ecuación para determinar la viscosidad en un -flujo con un volumen V que toma la forme de un ducto y tiene un

largo L y el radio lo eleva a la cuerta potencia, actuando una presión P en un tiempo dado, la ecuación es la siguiente:

n - Viscosided

- Radio

P - Diferencia de presiones

V - Volumen

L = dargo

Ley de Arrhenius, Le temperatura tiene un efecto sobre les propiedades reológicas de los polímeros fundidos. En los flui-dos newtonianos su comportamiento esta en función de la temperatura, la cual esta expresada por la ecuación de Arrhenius de la siguiente manera:

E = Energía de activación

R = Constante de los gases

T - Temperatura

A - Constante de Arrhenius

Con los datos obtenidos de la ecuación anterior se puede -gráficar el log n contra el inverso de la temperatura obtenian
dose una recta para el caso de los fluidos newtonianos e incluzo para polímeros fundidos a rapidez de corte baja. Por otro la

Por lo tanto cuando la variación de la viscosidad con la -temperatura se quiere conocer es necesario específicar si la variación de la rapidez de corte, el esfuerzo de corte permanecen constantes esto se expresa de la siguiente manera:

$$\left(\frac{2\perp}{2M}\right)^{\perp}$$
 $\left(\frac{2\perp}{2M}\right)^{3}$

estos dos términos no son iguales

$$\left(\frac{2L}{2\mathcal{N}}\right)^{\perp} > \left(\frac{2L}{2\mathcal{N}}\right)^{\chi}$$

Con lo anterior podemos establecer que la viscosidad depende de la temperatura, por lo tanto tenemos dos ecuaciones que son:

Todo lo anterior expuesto tiene gran impacto en la metodología a seguir en la fabricación de artículos en la industría donde se utiliza como materia prima polímeros como sucede en -procesos de extrusión, moldeo, rotomoldeo, etc. De esto se parte para conocer las propiedades y comportamiento de los polímeros en su estado fundido, donde la Reología proporcione los lineamientos para poder predecir la conducta de un polímero en su estado fundido.

Además de tomar en cuenta los parámetros como la temperatura, presión, la variación de la viscosidad, la resistencia que opone al esfuerzo ó fuerza aplicada, la variación de la elasticidad. Con procesos reológicos podemos determinar cada una destas condiciones que permitán tener una idea de la conducta -- del polímero fundido en estudio.

Explicando un poco más lo anterior podemos decir que la intención de la Reología es desarrollar una serie de constantes físicas para especificar la conducta de los materiales para poder determinar las leyes físicas que gobiernan y describen deformaciones viscoelásticas de materiales. Tomando en consideración los resultados reológicos deben ser independientes de los instrumentos, solamente deben dar información de la naturaleza del material.

Las características reológicas de los termoplásticos son usualmente estudiadas por instrumentos basados en el principio de los reómetros. Los reómetros miden muy altas viscosidades -- del orden superior a los 10^7 poises sobre un amplio rengo de rapidez de corte para aproximar las diferentes condiciones reológicas bajo las cuales los materiales estan siendo procesados. los datos obtenidos en conclusión deben ser independientes de los instrumentos aplicados bajo tales condiciones, se puede obtener resultados que pueden ser comparados con la conducta que presentan durante la extrusión o moldeo y con muchos parámetros típicos de los materiales.

VISCOSIDAD. La viscosidad de un termoplástico esta expresa de como la resistencia del flujo bajo la aplicación de una fuerza. Generalmente la viscosidad depende de la temperatura, tipo de molécula, características estructurales de los materiales.

Para el caso de los fluidos no newtonianos teles como los polímeros, la ecuación propuesta para determinar la viscosidad (5) es:

T = Esfuerzo de corte.

Y = Rapidez de corte.

Los parámetros de anteriores estan definidos por:

F -Fuerza.

S -Area

dy- Diferencia de velocidades dx- Dirección perpendicular a la dirección del flujo. PARTE EXPERIMENTAL

4.0 PARTE EXPERIMENTAL

Los polímeros, en especial los sintéticos, se vuelven cada día más importantes para satisfacer las necesidades en los diversos campos de la industria. Para verificar si éstos, son los adecuados para cada uso es preciso realizar una evaluación de sus propiedades y comportamiento.

Los productos poliméricos como es de nuestro conocimiento requieren de un proceso para obtenerios, además de la adición - de otro tipo de substancias tales como plastificantes, pigmentos, estabilizadores, cargas, etc., para mejorar sus propiedades. Sin embargo, pueden aun presentar imperfecciones en sus diferentes usos.

Para determinar estas imperfecciones los investigadores se han valido de un sin-número de técnicas a fin de poder conocer cual ó cuales propiedades determinan estas imperfecciones. Estas propiedades que se evaluan, son generalmente propiedades -reológicas, mecánicas, eléctricas. ópticas, así como, su esta-- bilidad dimensional, resistencia al intemperismo, al ataque químico, etc. propiedades que se correlacionan d'dependen de la estructura química, morfología, peso molecular, polidispersidad, estabilidad térmica, dureza.

Pera el caso especial del polietileno empleado como recubrimiento de tuberías se recomienda la determinación de la re-sistencia a la tensión (Norma ASTM D 638), su densidad (Norma
ASTM D 1505), su resistencia a la fracturación ambiental (Norma D 1693) y otras que establece la Norma ASTM D 1248-74, a -fín de manejar un conjunto de pruebas de control de calidad y determinar si el material en análisis esta entre los valores re
comendados para la aplicación requerida (Norma L-C 530 D "Federal Specification).

El polictileno de alta densidad estudiado en el presente trabajo, fué sometido a los siguientes análisis: primeramente se analizó composición mediante infrarrojo, determinación de la
cristalinidad a través de pruebas de densidad, rayos X y calor<u>i</u>
metría de barrido diferencial. También se caracterizó mecánicamente mediante pruebas de tensión uniaxial y fracturación ambie<u>n</u>
tal. Se realizaron observaciones de su microestructura mediante microscopía de barrido electrónico, y finalmente se analizó el e-fecto que pudiese tener las condiciones de procesamiento (temperatura y velocidad de extrusión principalmente), en las características estructurales y mecánicas del polictileno mediante un
estudio reológico empleando un reómetro capilar.

A) MATERIALES

El polictileno de alta densidad analizado se obtuvo del muestreo de tuberfas recubiertas con este material. Los recurbrimientos fuerón realizados por una companía "N" y otra --" g".

El muestreo se reelizó en recubrimientos que presenteban fracturas lineales en dirección longitudinal a la tubería y en recubrimientos sin fractura, ambos tipos procesados por la companía "N". Asimismo se muestreo en los recubrimientos de la --companía "E" que no presentaban dichas fracturas.

B) PREPARACION DE HUESTRAS

Fundamentalmente consistió en la eliminación de la brea-latex con chapopote que funciona como adhesivo entre el recubrimiento y la tubería. Esta operación se realizó empleando benceno procurando reducir al mínimo el tiempo de contacto con el polietileno, con el objeto de no modificar la estructura y la composición del polietileno y el grado de cristalinidad (por la disolución de la fase menos cristalina). Otro disolvente que se
empleó fue el xileno, pero se observó que existió un ataque el
polietileno y se dejó de utilizar para eliminar el adbesivo. La
preparación de las muestras para cada técnica experimental se realizó como lo aconseja la norma o el manual del equipo empleado.

C) TECNICAS

Este inciso se concrete a describir brevemente los objetivos de anélisis de cada una de las ténicas empleadas en la evaluación de los recubrimientos de polietileno señalados en el inició de este capitulo.

C.1 INFRARROJO

El análisis de infrarrojo es de gran utilidad por poder de terminar la composición o grupos funcionales característicos de la molécula de un compuesto. En el polímero en estudio se determinarón los grupos funcionales característicos de la molécula. El espectroscopío de absorción de infrarrojo utilizado fué un -Perkin Elmer modelo 283.

La preparación de la muestra se realizó empleando un micro tomo a fin de obtener muestras de un espesor de una micra aproximadamente y de esta forma no modificar la estructura del mate rial.

C.2 DENSIDAD

El objeto de esta prueba fué emplearla para determinar también de manera indirecta el grado de cristalinidad.

La determinación de la densidad fué realizada mediante elmétodo de picnometría recomendado por la Norma ASTM D1505. Este método se basa en el cálculo del volumen desplazado por un sól<u>i</u> do al sumergirlo en un líquido.

La secuencia del método de picnometría esta dado por las siguientes ecuaciones:

$$v_f = v_1 - \frac{P_1 - P_2 - P_3}{D_2}$$

V,= Volumen del líquido de referencia.

V_e- Volumen de la muestra.

P₁- Peso del picnómetro conteniendo el líquido de referencia y la muestra.

P. Peso del picnómetro.

P₁- Peso de la muestra.

D_= Densidad del líquido de referencia.

D_= Densidad calculada.

El líquido de inmersión que se utilizó fue el benceno a la temperatura de $17-21^{\circ}C$.

Se tomarón muestras al azar de diferentes recubrimientos, también se realizó un análisis "topográfico de densidades" que consistió en determinar la densidad a lo lergo del diámetro de la circunferencia del recubrimiento tomando distancias de 8 cm.

Fué necesario igualmente saber que variación había de la dens<u>i</u> dad en dirección de la extrusión.

C.3 ANALISIS TERMICO

Para realizar un análisis térmico completo a un polímero es necesario correr los siguientes análisis: Análisis térmico diferencial (DTA), Análisis térmico-gravimétrico (TGA) y - Calorimetría de barrido diferencial (DSC). Para el polímero en estudio fue suficiente el DSC.

El objeto de este prueba es determiner les transiciones - de polietileno, en especial el punto de fusión y el calor de - fusión correspondiente a les distintes muestras de polietiler-no las cuales esten en relación directa al grado de cristali-nidad del mismo, es decir, mientras más cristalino mayor sera su temperatura de fusión y mayor su calor o entalpla de fusión.

Para la medición del punto de fusión y calor de fusión del polietileno de alta densidad se utilizó un calorímetro de barrido diferencial marca Perkin Elmer modelo DSC-18.

Les muestres requerides son preparades de la siguiente ma nera : se pesa la muestra cuidando que no tenga un peso mayor de 10 mg., se coloca en una capsula de aluminio, la cual se heg metiza para evitar que contamine los portamuestres.

C.4 RAYOS X

Esta técnica se aplicó a fin de determinar las distancias interplanares de los planos característicos del polietileno -- (200 y 110) y de esta manera determinar el grado de cristal<u>i</u> nidad, esto es, a mayor distancia interplanar menor empaquetamiento y por lo tanto menor grado de cristalinidad. La medida también se consideró en recubrimientos que presentaban fractura, así mismo los que no presentaban para poder comparar las características estructurales de ambas muestras.

La distancia interplanar se calculo por medio de la "Ley de Bragg" y su ecuación es la siguiente:

nl - 2d sen •

donde:

0 = 1

λ = longitud de onda del Cu.

d = Distancia interplanar.

8 - Angulo medido.

C.5 HICROSCOPIA

Las observaciones microscópicas de materiales poliméricos son de gran utilidad, ya que permiten conocer la morfología y aspectos topográficos de las muestras en estudio, con ello se puede establecer un juicio que nos permita definir las diferenciás existentes entre cada muestra.

Les observaciones se realizarón en un microscopio de barr<u>i</u>
do electrónico modelo Jeol JXA-35

C.6 RESISTENCIA A LA TENSION

Las pruebas de tensión son de gran importancia para determinar las carasterísticas mecánicas del material, estas pruebas sirven no solo como base de aceptación sino que sus resultados son usados para evaluar la función de los materiales tento en lo que se refiere a cargas máximas permisibles en servicio y a su facilidad de deformación (moldeo). Estas propiedades son-medidas por la aplicación de una carga que se incrementa continuamente sobre la muestra y la relación que tiene con la deformación que sufre dicha muestra. Tanto el Módulo de Young, la resistencia a la cedencia y la resistencia a la tensión son medidos de esta manera.

En particular se determinó el esfuerzo de cedencia de a--cuerdo con la Norma ASTH D 638-72 empleando una velocidad de de
formación de 50 mm./min., en una máquina universal de prueba -instron, modelo 1125. Se tomaron muestras para esta prueba tanto en la dirección paralela como perpendicular al sentido de la
extrusión. Las muestras se prepararon según lo recomienda la -norma empleada (Norma ASTH D 638-72 tipo 11).

C.. 7 FRACTURACION AMBIENTAL

Esta prueba generalmente se considera como una prueba de -

control, que nos auxilia para caracterizar un polímero en est<u>u</u> dio, además permite determiner la influencia que tiene los pr<u>o</u> ductos químicos en la fracturación ambiental del polímero en estudio.

El estudio de la fracturación ambiental se realizó de accuerdo con la Norma ASTM D 1963 70 (75) utilizando como agente activante superficial una solución de Antarox al 10 % a una -temperatura de 50°C. La prueba tuvo una duración de 48 horas.

Las muestras para esta prueba fueron preparadas en forma de trozos rectangulares de 7.3 mm. de ancho por 38mm. de largo y una abertura en el centro de 1 mm.

5.0 RESULTADOS Y DISCUCIONES

A) RESULTADOS DEL MUESTREO

En el muestreo realizado de los diferentes recubrimientos se verificó que el recubrimiento del polietileno presentaba -- fracturas lineales sólo en dirección longitudinal a la tubería y no en dirección transversal.

El área de las tuberías sobre la que se localizaban las fracturas no presentaba rebordes o rebabas que pudiesen haber sido la causa de las fallas. Tampoco existía una localización preferencial de las fracturas sobre la costura de la tubería.

Por otro lado los recubrimientos que presentaban este tipo de fractura no mostraban un cambio sustancial de coloración
ni una notable perdida de flexibilidad, que permitiesen suponer que la causa de las fracturas fuese un ataque ambiental -(presencia de ácidos, grasas, alcoholes, etc.) o sea deben a
la degradación por radición o envejecimiento.

B) ANALISIS DE LA COMPOSICION QUINICA (IR)

Los análisis de infrarrojo muestran que la materia prima utilizada por la companía "N" es diferente a la empleada por - la companía "E".

Como se observa en el espectro de Infrarrojo que se presenta en la figura 6, en la muestra del material empleado por la companía "E" aparecen tres bandasen 8.4, 8.85 y 9.3 micras, respectivamente que pueden corresponder a las siguientes estructuras del tion.(6)

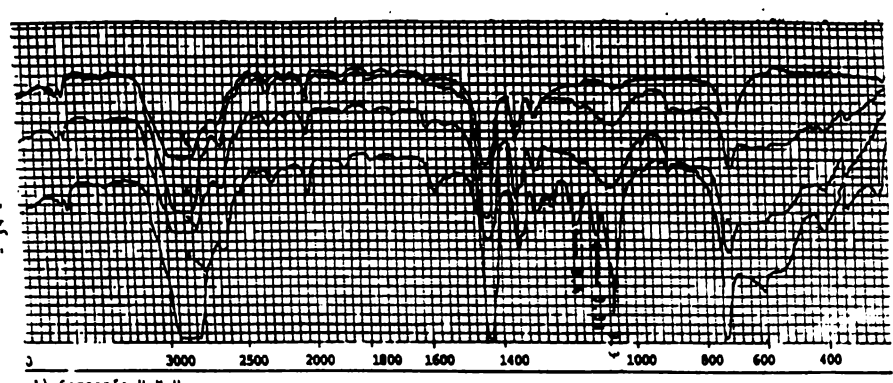
Estas bandas no aparecen en los recubrimientos de la companfa -

La presencia de estos radicales en el policificam disminuye el grado de cristalinidad y consecuentemente, aumenta la -flexibilidad del mismo, favoreciendo con ésto la liberación de esfuerzos que pudieran provocar fallas en el material.

C) DETERMINACION DEL GRADO DE CRISTALINIDAD

Determinación del grado de cristalinidad se llevo acabo -

EMPROTROGCOPTA THERMOOTA



1) Compania " N "

FIGURA &

mediante diverses técnices (Densided, Anélisis térmico y Reyos X) y los resultados obtenidos se señalan e continuación.

C.1 DETERMINACION DE DENSIDADES

Los resultados obtenidos se muestran en la tabla I. Es -particularmente notorio la elevada densidad, del orden de 0.98
g/cm³ de algunos recubrimientos procesados por la companía "N"
que presentan fracturas comparada con la de los mismos recubrimientos, en tramos que no presentan fracturas, del orden de -0.97 g/cm³. Aún mayor es la diferencia si se compara con la de
los recubrimientos de la companía "E" de 0.93 g/cm³.

Estos resultados están de acuerdo con el comportamiento - normel del polietileno: a mayor densidad, aumenta la propensión al tipo de fracturas presentadas por los recubrimientos de la companía "N".

Se realizó también el estudio topográfico de densidades, obteniendose los resultados que muestra la tabla II así como - en la figura 7 ,

La gráfica de densidades de las muestras a lo largo de la circunferencia del recubrimiento muestran un notorio gradiente de densidades a lo largo de la circunferencia de los recubrimientos procesados por la companía "N" (muestras A,B,C,D)-comparados con los gradientes de densidades de los recubrimientos de la companía "E", (muestra E). Como ejemplo se observa muy claramente la diferencia de este parámetro en la muestra.

TABLA I DENSIDAD (g/cm³)

	$\overline{}$						$\overline{}$
CONCEPTO		MUE	STRAS	SIN F	RACTU	RAS	
SIMBOLO DE MUESTRA		V-1	0-1	w-1	v -1	Z-1	8001
VALOR MEDI	•	0.9546	0.9697	0.9743	0.9721	0.9621	0.9925
DESVIACION STA	NOAR	0 007	0.004	0.017	0.0108	0.004	0.006
% DE ERROR		0.79	0.56	1.78	1.12	0.40	0.67
CONCEPTO		MUE	STRAS	CON	FRACTI	JRAS	
SIMBOLO DE Muestra	0 —1	0-5	1-2	A-0	•c	C D	P-1
VALOR MEDIO	0 96 48	0 9670	0 988	0.984	0 9412	0.9810	0.9676
DESVIACION STANDAR	0.002	0 000	0 000	0 0108	0.0134	0.006	0.0076
% DE ERROR	0 02	0 52	0 86	107	1.4	0.6	0.7

METODO PICNOMETRIA

CONDICIONES DE PRUEBA.

- LIQUIDO DE INMERSION. BENCENO
- TEMPERATURA . 20- 23°C
- PRESION: ATMOSFERICA

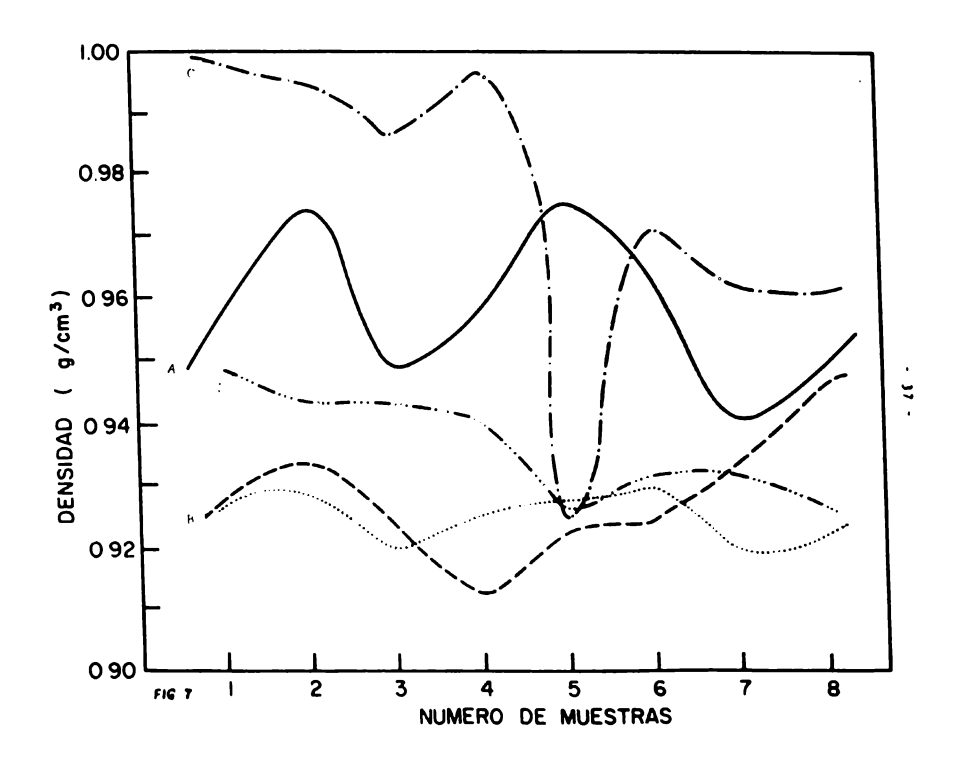


TABLA II DENSIDAD (G / cm³)

DETERMINACION DE DENSIDADES A LO LARGO DE LA CIRCUNFERENCIA DE LA TUBERIA POLIETILENO " N "

Nº DE MUESTRA	A	8	С	D	ε
1	0.9584	0.9283	0.9990	0,9488	0.9276
2	0 9735	0.933 1	0.9974	0.9420	0.9283
3	0.9486	0.9281	0 9879	0.9425	0.9200
4	0.9593	0.9116	0 9983	0.9410	0.9257
5	0.9750	0.9226	0.9226	0.9260	0.9279
6	0.9622	0.9239	0.9714	0.9318	0.9300
7	0.9489	0 93 39	0 9619	0.9310	0.9200
8	0.9497	0.9470	0 9604	0 9260	0.9229

METODO PICNOMETRIA

POLIETILENO " E

CONDICIONES DE PRUEBA:

- LIQUIDO DE INMERSION BENCENO
- DISTANCIAS ENTRE MUESTRAS: 8 cm

tra C cuyo gradiente de densidades va desde 0.999 g/cm³ a 0.92 g/cm³ lo cuel representa una variación del 7.9% en la densidad del producto en contraposición del 1% de variación de la dens<u>i</u> dad en el recubrimiento de la companía "E".

Estas observaciones hechas nos señalan que no existe un sistema adecuado y homogéneo de enfriamiento del recubrimiento de polietileno, una vez que éste ha sido depositado sobre la tubería en la linea de procesamiento de la companía "N".

Pera afirmar lo anterior en la tabla III se observa que prácticamente no existe variación de la densidad del polletila no a lo largo del recubrimiento procesado por la companía "N".

C.2 ANALISIS TERMICO

Como se observe en la tabla IV los recubrimientos que presentan fractura son los que exhiben un punto y calor de fusión mayor lo que nos indica que estos recubrimientos son los de mayor grado de cristalinidad.

En las figuras 8 y 9 se muestran ejemplos de los termogr<u>a</u> mas de dos diferentes muestras una de la companía "N" y otro - de la companía "E" respectivamente.

C.3 ANALISIS DE RAYOS X

En la tabla V se presentan los resultados derivados del análisis de rayos X. Como se puede observar, existe una correlación entre la distancia interplanar de los planos caracterís

TABLA III

DENSIDAD (g/cm3)

CORTE: PARALELO A LA EXTRUSION DE LA TUBERIA.

POLIETILENO " N "

No DE MUESTRA	A	8	С
,	0.9668	0 9497	0 9511
2	0. 9617	0 9350	0 9528
3	0 9617	0.9396	0 9600
4	0.9607	0 9 4 0 9	0.9601
5	0 9621	0 9400	0 9595

METODO . PICNOMETRIA

CONDICIONES DE PRUEBA:

- LIQUIDO DE INMERSION : BENCENO

-TEMPERATURA: 20°C

- PRESION. ATMOSFERICA

TABLA IV

PUNTO DE FUSION Y CALOR DE FUSION

	,	RECUB SIN				1		RIMI FRA	ENTOS CTURA
SIMBOLO DE LA MUESTRA	Z-1	W-1	Q-1	V-1	SPP	P-1	N- 1	ВС	AC
Punto de fusión (°K)	397	396	397	399	402	402	402	404	410
Calor de fusión (cal/gr)	78.6	48.5	88.3	74.5	122.1	92.5	134.0	120.1	100.8
Densidad (gr/cm²)	.9621	.9745	.9617	9546	.950	9675	.9456	.9441	.9845

TABLA V

ESTUDIO DE RAYOS X DISTANCIAS INTERPLANARES

RECUBRIMIENTOS SIN

RECUBRIMIENTOS CON FRACTURA

	W-P	V-1	W-1	2-1	G-1	N-3	0-2	M-3
Plano 110	4.2301	4.4394	4.4394	4 4394	4 1907	4.1681	4.0953	4.1002
Plano 200	3 8667	3.8668	3.8668	3.8502	3.7842	3 7842	3.7231	3 5721
Densidad	0 9516	0.9546	0.9745	0 9621	0.9645	0 9645	0 9670	0.9881

Las densidades reportadas son las promedio

ticos del polietileno con la densidad de la muestra, esto, a mayor densidad existe un mayor empaquetamiento, o sea que la -distancia interplanar es menor. En rayos X la medida de la distancia interplanar se realiza empleando la ecuación de Bragg:

n 1- 2dsen €

n = 1

2 - longitud de onde del Cu (- 1.54 Å).

d - distancia interplanar.

4 - Angulo de difracción.

En la figura 10 y 11 se muestran dos patrones de rayos X .

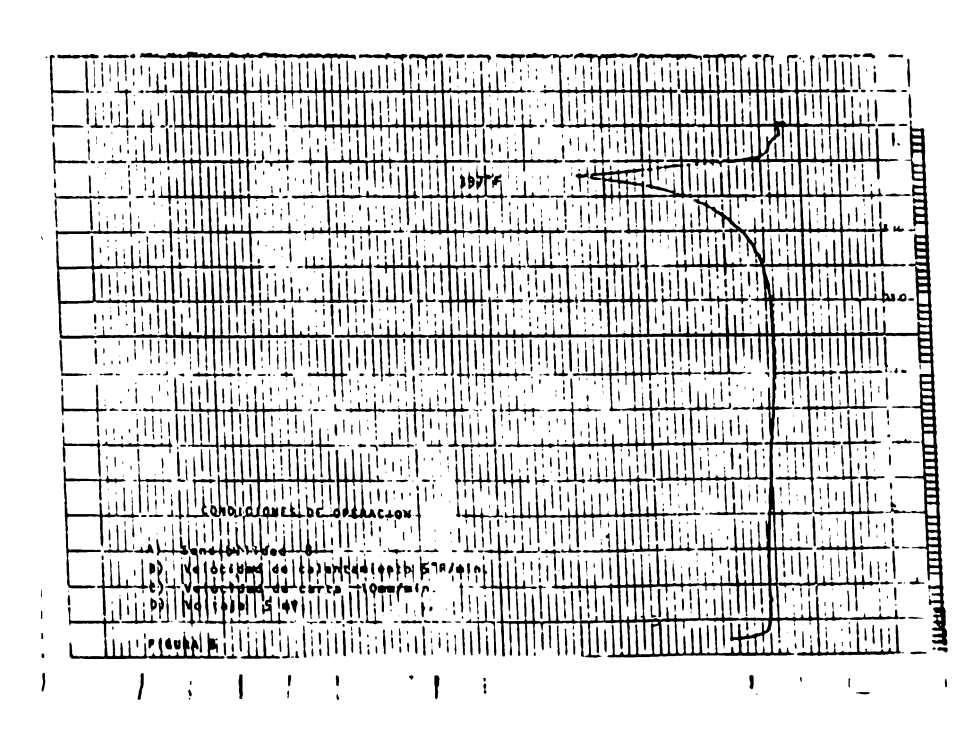
D) DETERMINACION DE PROPIEDADES MECANICAS

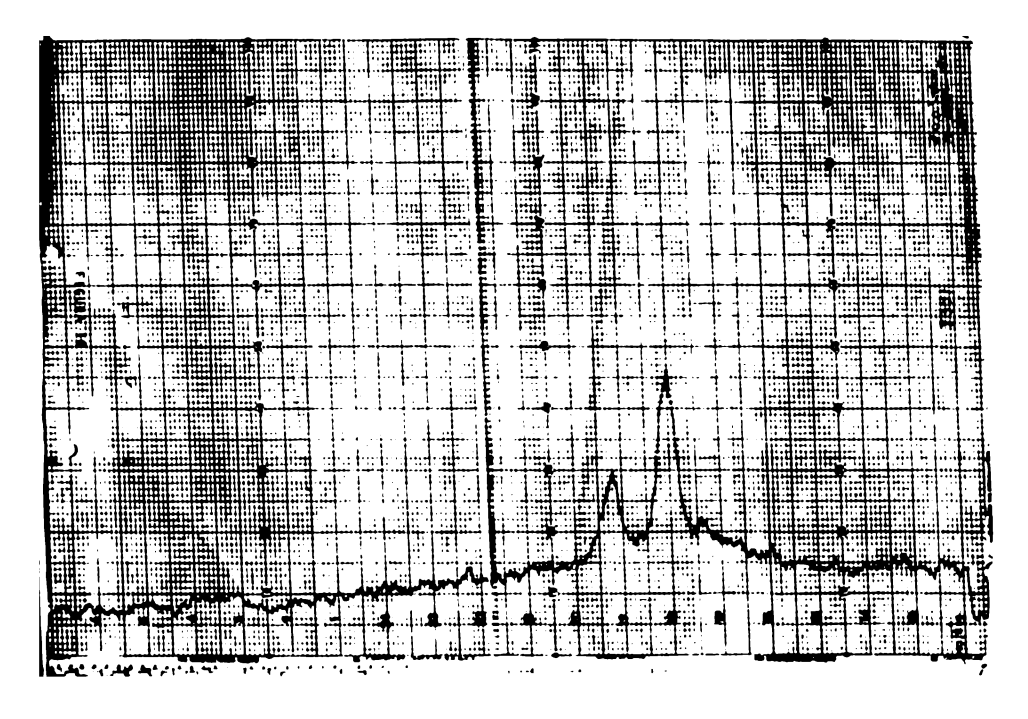
D.1 RESISTENCIA MECANICA A LA TENSION

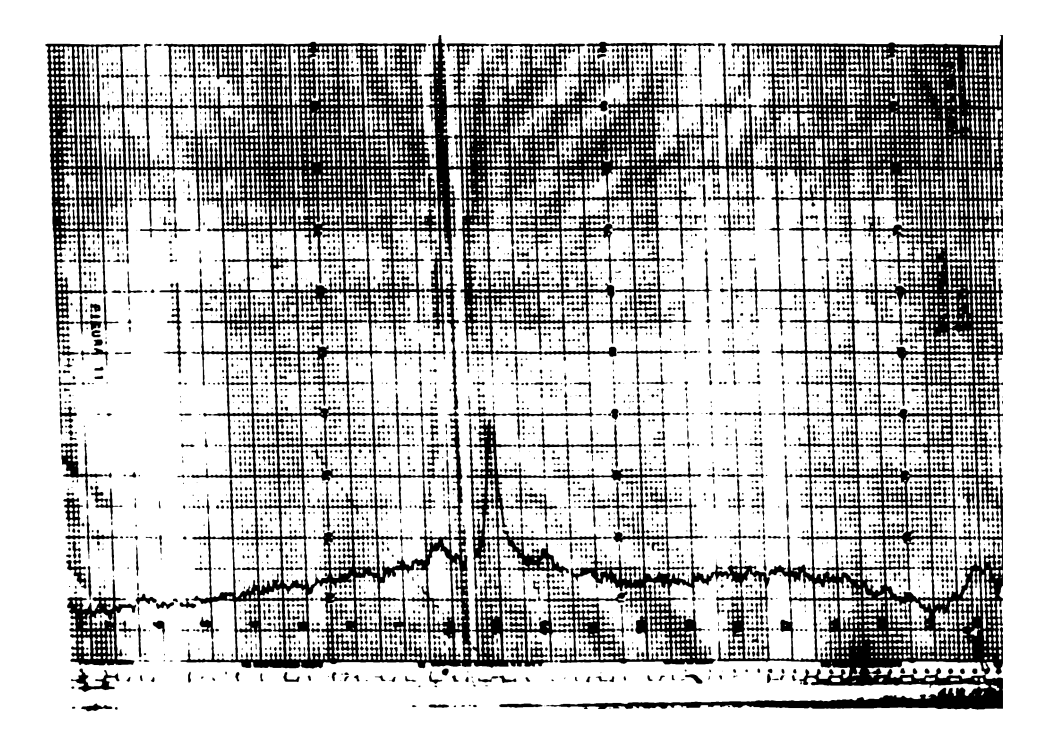
Como se puede observar en la tabla VI, todas las muestras presentan como común denominador una mayor resistencia mecánica en dirección paralela a la longitud de la tubería, que en la dirección transversal.

Solo el 36 % del total de las muestras pasan el valor mínimo de esfuerzo a la ruptura, de 2.11 kg./mm² (3000 psi), establecido por la norma " Federal Specification " L - C - 530

11	i	ii	I	il	li	I	Ī	I		!!	ı	į	ij		Ī				I	I	I	Ì	Ī	I	I	j	li	i	11	1	!	11		:	L	ز	÷	7	١١	Ī	i	i	Ī	ı	1	T	1	I	Ĩ	I	1	ľ	i		1		6		1	
$\ $		I	Ī	Ī	i					T L	Ţ	١	6	-	I	I	ļ	Į	Ī	H	ŀ	Н	P	H	H	H	Ī	f	Ī	Ī	Ī	Ţ	Ţ	Ī	ıI	ij	l		I	I			I	I	i		i	i	Ī		١	Ţ	Ī	Ī	1	!	1	_	٦	
l	1		Ī	I	ï		Ī	I	I								1				I	i	I	!!	I		I		Ī	Ī	H	H	H	Į	ï	1	i	I	I	I	il			Ī	I	I	I	Ī	1	il	li		Ī	Ī	ï	ï	1	_	٦	0
I		T	Ī	I	T	li	I	ii	Ī	:	ļ	i	Ī	١	I	ï	I		I		I	I	Ţ	I	I	I	I		I	I	l	li	1	I	1	7	+	Ų	I		I	1	I	Į		۱	I	T	I		I	T	1	Ī	Ti	_	1	Γ		7
11	11	l	1		I	I	I	i	1	Ī	īĪ	Ī	Ī	I	!	Ī	I	Ī	Ī		ii	Ī		Ì	I	Ī	I	Ţ	Ī	I	I	I	I	I	li	I		1	1	N	1	I	ij				I	I	I	I	i	Ī	įĬ,	1	-	• }	Ţ	Ī	_	1
I	Ţ			1		II	li	1	1	1	1	1	[I		1		١	I	Ţ	!	Ī	I	T	1	!	II	Ī		i		١		I	ľ	1			I		١	I	I	i		Į			l		1	I	1	i	Ī				_	
1	ij		11	1	II	Ŋ	Ī	Ī	!	1	. 1	1		I	Ţ	Ī	Ī	-	I	Ī	i	Ī	1	١	. ;			Ī		1	I	İ		1	ī	1	i	i		i	I		I	-	!!		i		1	Ī		I	1		T			-		1
T	1	i	1	Ĭ	11	I	T	•	Ì	ĺ	Ī		li	I	ļ	į		l	I	1			ï			I	i	1	!		1	İ		į	I	١	I	T		1		١	-		1	1	i	1	!	I	il	il	1	ī	i	-		-		
II	. 1	Ĩ	Ţ	1	ı	١	li	1		ľ	i	1	1	I	i		T		Ī	1	1	١	Ì		•			ļ.	Ī		1	I		I	I	1		1	1	1	ľ	ı	ŀ	Ī	!	•	I	1	i	Ī		i	Ţ	1	-			!		Ī
Γ.	ij	T	1	1	Ī	i	1	.!	!,	ļ	١	ij	Ī	Ī	:	Ī	Ī	,	Ī		•	1	ļ	. !	i	1	İ		Ĺ	Ī	1	I	I	Ţ	1	l	1			1	l	į	ľ	1	,	,	1.		1	ĺ	ij			ij	. 1	7	_	T	_	j
Ti	1		1		ļ	Ī		12	5	6	Ł		ļ	Ī	Įį	Ţ		Ī	i							:						ij	I	ļ	Ī	Ī	I	Ī	I	1	L	ī	1	1	•	: 1	i	i		١	1	11	1	i.	•		_	Ť	_	Line have been treed for the
Ţ	Ï	Ħ	A)	•	•	4	l	ı	ij	01	Ü	1	1	ıİ	Ì		Ţ	ľ	•		+	٠		ij	Ţ	1	i	ī	i	ı	Ţ	i	!	Ī	1	Ī	1	1	!	Ī	i	1	Ī		;;	Ī	!	Ι,	Ī	ī	1	٢	_	-			1	_	_
T	ì.	11	Ċ	ا -	ŗ,		9	ڊ ا د ا	4	7	7	1.	1	: 4	ļ	7		0			٠,			; -	P) N		_	١	1	; ;		1		ij	ľ		_	1	!		1			T	_	•	Ţ			Ī	1	1	ī,	_		_	-	i	_	_
Ţ		٠,	,0)	11	P	1	١	1	Ų	5		ï	ı,	1	1		!	1	!			j	Ī	١.	÷		,	1	١.	ŧ	٠ì	: }	ļ	١,		, !	1	. !	!	+	1	•	۲	-		S	i	i	1	1	I	J	•		Γ	-	+		_
4	1	٦,	Ī:	Ī	P	į	ı	Ī	1	۸	ٔ	ن	ij	1	Ī	Ñ	7	I	i	i	1	4	٢		•	1	i	i	3,		١	i١	ij	1	٩	١	1		1	i	i		i	l	. ,	ī	7	1	1	1	I	Ī	Ī		· ,	[_	9	_	_
1		Ì	1	11	T	- 1	,	ľ	Ţ	. ;		_	1	-	i		1	Ī	١	I	1		Ī			ı	1	i	1	ı	. 1	, 1		1	I	Ī			1	1	I	1		Ī			1		i	Ï	Ī	1	Ī	11	1	ī	_			_
1		Ţ		,	l	d	ĺ	وَا	ı	۱	١	Ġ		!	ī	1	Ī	1	7	ľ	-		i	Ī	;	,		٠.	Ī	:	11	ij	T	li	Ti	١	í	i	;	,	i	1	1	۱	•		1	1	I	II	T	1	ı	1	_	;		1	_	_







ESFUERZO A LA CEDENCIA

METODO : NORMA ASTM DESE-72 APARATO: MAQUELA INSTROM UNIVERSAL

UNIDADES: #4/mm

CONDICIONES DE PRUEBA

TEMPERATURA: AMBIENTE VELOCIDAD DE PRUEBA : 50 mm/mm

VELOCIDAD DE CARTA : 10 mm/mm

1	A	ATE	RIAL	CO	N FR	ACT	JRAS		1	SATER	IAL DE	N FRAC	TURAS	
	BI	0-2	T—2	A0	8-C	c— 0	₽	N—I	V1	01	W1	Y— I	Z— I	SPP
VALOR M E D I O	1.053	1.943		2 493	5 5 63		2 136	2 241	1900	1.911	1004	1.004	1.020	8 -199
DESVIACION S T A N D A R	0.124	0.1933		0 0206	0.0020		0.06/2	0.0009	0 0339	0 0552	0 0453	0 0357	0.0499	o.0130
ERROR	6.79	5.10		116	0 12		2 0 4	3 16	1.70	, .	2.4	1.0	2.7	04
DIRECCION TRA	HSVERSAL T		r		T	····	,			т	· · · ·	T	Ţ	r
VALOR MEDIO	1.487	1076	1.949	2 187	5 580	2 220	2.128	2 277		1.010	1964	. • •	1.922	5700
DESVIACION S T A N D A R	0.240	0.0973	0.0494	0.0039	0.033	0 0073	0.0132	0 0 654	0.0161	0.060	0 0844	0.079	0.0412	0.100
*	Τ			T	T	3.7	0.7		1.47	3.76	Ţ.,,	4.3	2.14	

8, por lo que desde este punto de vista el recubrimiento no es adecuado. Para les muestres de le companía "N" en cambio las de la companía "E" el 80% de ellas tienen el valor mín<u>i</u> mo que recomienda la norma.

D.2 RESISTENCIA A LA FRACTURACION AMBIENTAL

Los resultados obtenidos se muestran en la table VII, como se observa, practicamente la mayoría de las muestras de los recubrimientos de la companía "H" ensayados (85 %)
sufrierón fracturación entes de las 48 horas. Estos resulta
dos concuerdan con trabajos ya publicados en el sentido de que el fenómeno de la fracturación ambientel parece ser par
ticularmente sensible a la variación de la textura y la cris
talinidad del polímero, lo que se manifiesta macroscopica-mente a través de la densidad del polímero. Esto es, que a mayor grado de cristalinidad (y concecuentemente de la den
sidad) el polietileno es más suceptible de sufrir dicha -fracturación.

E) ESTUDIO MORFOLOGICO

E. 1 MICROSCOPIA ELECTRONICA

Se realizarón las observaciones sobre muestras fracturadas, no fracturadas de la companía "N" y muestras de rec<u>u</u>

TABLA VII

FRACTURACION AMBIENTAL METODO ASTM 1963-70 (1975)

CONDICIONES DE PRUEBA

TEMPERATURA : 60° C
AGENTE ACTIVANTE : ANTAROX 10%

DURACION : 48 hrs.

Nº DE MUESTRAS	DIRECCION DE La MUESTRA	PORCENTAJE DE M U E S T R A S F R A CTURADAS
l	PERPENDICULAR	100 %
2	PARALELA	90 %
3	PERPENDICULAR	70 %
4	PARALELA	80 %
5	PERPENDICULAR	80 %

SEGUN LA EXTRUSIÓN

brimientos de la companía "E" .

El estudio sobre les muestres que presenten fracture - (compense "M"), mostró que la fractura se origina probablamente en el interior del recubrimiento, como se observa en - la fotografía 1001, que corresponde a una de las caras in-ternas de la fractura, y en la fotografía 4001, que corresponde a la superficie del recubrimiento próximo a un extremo de la fractura.

En la fotografía 4003, tomada dentro de la fractura -mostrada en la fotografía 4001, se muestra une gran orientación del polietileno, con formación de " crazes", o peque-ñas fallas paralelas que se desarrollan en zonas del mate-rial donde la estructura se transforma en fibrosa, orientada paralelamente a la tubería y en ángulo recto con respecto a la dirección del esfuerzo de corte provocado por la -extrusión.

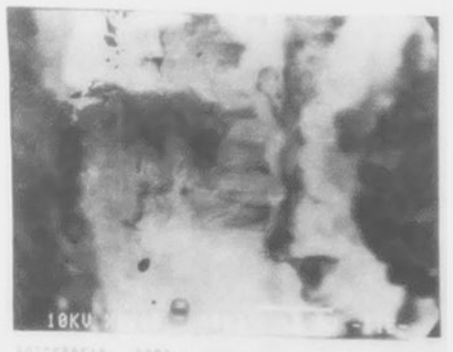
En este tipo de microfallas pueden tener su origen las fracturas macroscópicas del polietileno (3). Estas se presentan en regiones del material donde la densidad y cristalinidad son altas lo cual en este caso se ha comprobado por medio de las mediciones de densidad.

En una segunda observación se pudo concluir que la textura de las muestras de la companía "N" es poco regular (--fracturadas y no fracturadas) fotografías 7001, 7004, 3001 comparadas con la textura de recubrimientos de la companía - "E" fotografías 4001 y 4002. Esto señala que el tamaño de --

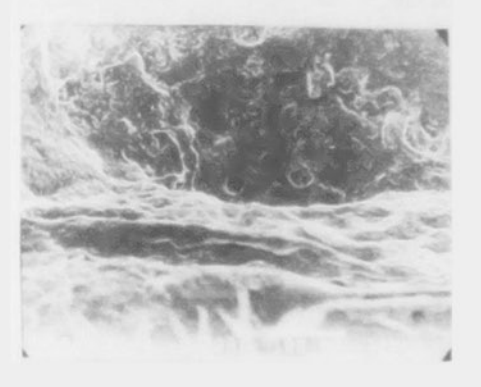


TOTAL MARIA 1001



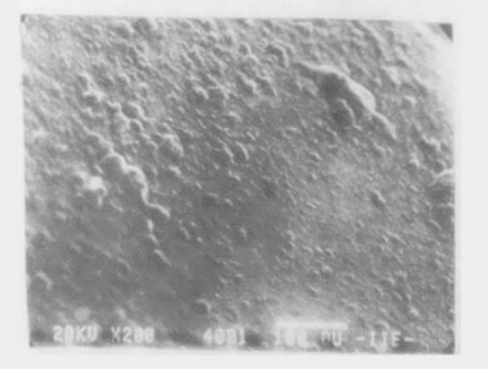


FOTOGRAFIA 4003









grano del los recubrimientos de la companía "N" es mayor -que el de la companía "E", lo cuel puede deberse a la menor
velocidad de enfriamiento de los recubrimientos de la compa
nía "N". Esto mismo, favorece el incremento de la densidad
v cristalinidad de los recubrimientos,

F) ESTUDIO REOLOGICO

E. 1 REOLOGIA

Finalmente del estudio de reología, los resultados --muestran (tabla YIII) que existe una velocidad de extru-sión (rápidez de extrusión) máxima para cada temperatura operación a las cuales se logran las mejores propiedades mecánicas del material extruido.

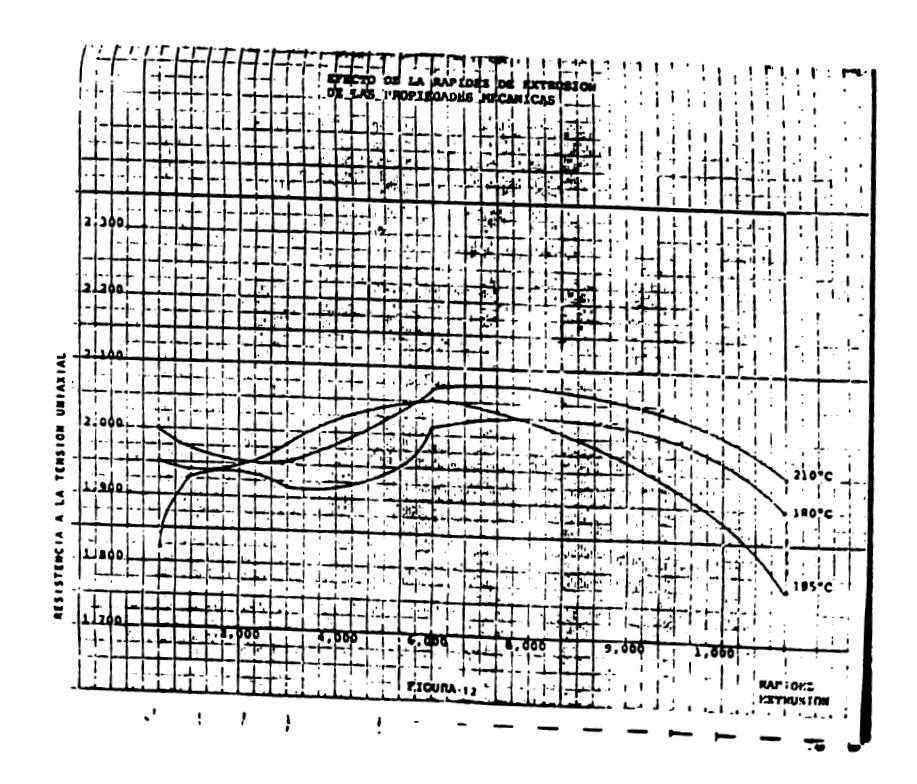
Hay que señalar en este estudio no se empleo un sistema de enfrimiento en la extrusión, no es posible congelar la - estructura del polletileno. lo cual permite a las macromoléculas liberar esfuerzos (relajeción) causados por el proceso de orientación.

Al gráficar la rápidez de extrusión contra la resistencia a la tensión uniaxial se desprenden conclusiones interesantes de las muestras estruidas a diferentes temperaturas.

Como se observa en la gráfica de la figura 12, existe una tendecia general de aumentar la resistencia mecánica a la tensión al incrementar la rápidez de extrusión, hasta lie-

TABLA VIII
RESISTENCIA A LA TENSION

VELOCIDAD DE	RESISTENCIA A LA TENSION											
EXTRUSION mm/min	180 °C	195 °C	210 °C									
5	1.819	1.948	2.000									
20	1.895	1.957	1.960									
50	1.910	1.915	2.045									
100	1.980	2.007	1.980									
200	1.935	1.751	1.910									



ger a un valor máximo después del cual las propiedades mec<u>é</u>
nicas del material decrecen. A éste valor máximo se le den<u>o</u>
mina rapidez de extrusión crítica. Cuando la extrusión se efectua a una rapidez mayor, las macromoléculas del polímero fundido no son capaces de alinearse homógeneamente en la
dirección de la extrusión, provocando huecos en el interior
del material y produciendo lo que se llama fracturación de fundido, mermando drásticamente las propiedades mecánicas del polímero extruido.

Además, existen resultados que pueden atribuirse a las condiciones de extrusión, por ejemplo, la curva correspondiente a 210° C. de la figura 12 , donde se observa un pequeño decremento inicial de las propiedades mecánicas y des pués un nuevo incremento al aumentar la rapidez de extrusión. Este hecho puede atribuirse a procesos de reacrientación que suceden en el material, ya que la orientación que se le imparte a condiciones de baja rapidez de extrusión es pequeña y la temperatura de procesamiento alta; además en el proceso no existe un sistema de enfriamiento que permita "congelar" las estructuras orientadas logradas lo cual permite cierta movilidad a las macromoléculas del polímero para liberar esfuerzos mediante procesos de relajación (reorientación).

6.0 CONCLUSIONES

De los resultados obtenidos de este estudio, se deriven - las siguientes conclusiones.

- A) La causa principal de las fracturas se puede atribuir a la composición misma del policitiono empleado, esto es debido a que el policitiono de la companía "N" no presenta estructuras substitucionales en su cadena principal que regulen la cristalinidad máxima posible como en el caso del policitiono de la companía "E". La cristalinidad con el tiempo tiende a al canzar un grado determinado que corresponde a la cristalinidad en equilibrio. Si a esto se asocia el hecho de que a mayor --- cristalinidad, la resistencia a la fracturación ambiental disminuye, se puede deducir que resulta de vital importancia el controlar el grado de cristalinidad máxima posible del policii leno mediante modificaciones en su cadena principal.
 - B) Existen además causas de importancia secundaría que favorecen la posición de fractures longitudinales en recubri--

mientos de la companía "N" como: subvariaciones en la estruct<u>e</u> ra cristalina manifestadas a través de la diferencia de densid<u>a</u> des localizadas a lo largo de la circunferencia del recubrimiento, lo que genera esfuerzos internos residuales que pudiesen fa vorecer la aperición de fracturas longitudinales y una alta den sidad del polietileno extruído, debido a un inadecuado sistema de enfrimiento.

C) Las propiedades mecánicas del material estruído se ven fuertemente afectadas, no solo por las condiciones de extrusión (rapidez y temperatura) sino también por la rapidez de enfria miento del material extruído.

7.0 APENDICE

Fundamentos teóricos de los principales técnicas para la caracterización de polímeros.

ESPECTROSCOPIA DE INFRARROJO.- La espectroscopía de infrarrojo se usa generalmente para la identificación de compuestos orgánicos, tienen cierta complejidad, por lo tanto se emplea -comparetivamente.

El estudio de la espectroscopía de absorción de infrarrojo para altos polímeros es importante para poder detectar las características vibracionales de una molécula.

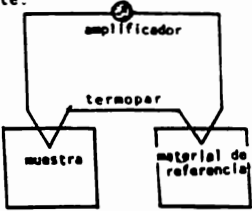
Un espectro de absorción de IR originado por las vibraciones moleculares, las cuales causan un cambio en el momento dipolar de la molécula. El espectro refleja la estructura de la molécula, especialmente la masa de los átomos constituyentes, las
fuerzas intermoleculares que operan en el estado cristalino. El
IR de absorción es uno de los más importantes métodos para el estudio de altos polímeros y tiene un gran rango de aplición en
este campo.

La espectroscopía es propia para la determinación de los parámetros siguientes:

- a) Estructura química, detección de partículas, tipo de enlaces químicos.
- b) Conformación y configuración molecular.
- c) Estructura cristalina.
- d) Cristalización y cristalinidad.
- e) Orientación.
- f) Tipos de ramificaciones.
- q) Identificación química.

Ciertamente que para poder tener el análisis de todos los parámetros mencionados anteriormente existe los métodos espectroscopicos auxiliaes como son: IR, RAMAN, RHN, UV, fusión de neutrones, etc.

-- ANALISIS TERMICO (DSC) _ El análisis térmico diferencial ó espectroscopía térmica mide los cambios energéticos caloríficos como función de la temperatura. Experimentalmente la
muestra se calienta junto con una muestra de referencia a una rapidez uniforme y la diferencia de temperatura entre ambas es
medida como una función de la temperatura tal como, se muestra
en la figura siguiente:



Le curva resultante es llamada termograma 6 espectro térmico del cual se puede obtener información sobre la temperatura, celor y rapidez de transformación. La principal ventaja de DTA es mucho mas simple, rápido y puede ser sujeto a una graficación continua. Los calores de transformación pueden ser determinados cuantitativamente con una exactitud razonable con una previa calibración empleando muestras cuyos calores de ---transformación sean conocidos.

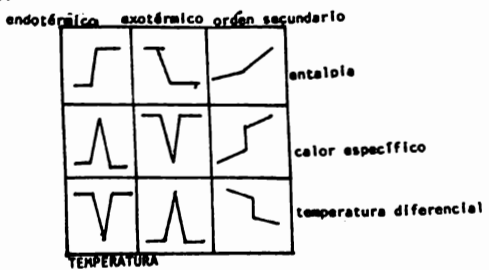
Como el DTA mide directamente el cambio de energía de una substancia es teoricamente posible detectar y medir cualquier transición física y reacción química que este acompañada de un cambio energetico calorífico.

Además el DTA a sido aplicado recientemente al estudio de los polímeros y existe una gran cantidad de trabajos publicados en los últimos 15 años y muchos de ellos enfocados a establecer métodos para análisis rutinarios.

El principio de operación y técnicas experimentales no se ran tratados en este apendice, enfocando solamente a los tipos de problemas de los altos polímeros los cuales el DTA puede -- ser aplicado.

Las transformaciones pueden ser clasificadas en dos tipos endotérmico exotérmico y una tercera llamada transición vitrea en la cual la entalpia y el calor específico no cambia bruscamente.

La representación esquemetica de los tres tipos de transformaciones para la entalpía el calor específico, y temperatura diferencial contra temperatura se muestran en los siguientes diagramas:



Las transformaciones en los altos polímeros pueden corresponder a cambios físicos y químicos.

Las transformaciones físicas que han sido establecidas son:

- a) Temperatura de trnasición vitres.
- b) Cristalinidad en frío.
- c) Transición cristal- cristal.
- d) Cristalización apartir del fundido.
- e) Temperatura de fusión.
- a) La transición vítres involucra cortes de segmentos en la región amorfa y esta relacionado a la fragilidad del polímero.
- b) Cristalización en frío ocurre por debajo de la temperatura de fusión y por arriba de la temperatura vítrea este fenómeno se presenta en poliester, poliuratano.
- c) Transición cristal-cristal a sido encontrada en algunos polímeros como el tefión, nylon 66 y 1,4 polibutadieno.
- d) Cristelización apartir del fundido es de gran importancia plástica debido a que es el paso principal en fabricación de los termoplásticos cristelinos en caso de la obtención de f \underline{I} bras.
- e) Punto de fusión es la transición del estado cristalino al estado amorfo y por lo tento es registrable en polímeros semicristalinos.

Respecto a este último punto el concepto de polímero semicristelino implica que exista una estructura parcialmente cristalina, es decir, una estructura en la cual hay regiones perfectamente ordenadas (cristales) esten rodeadas de regiones amorfas. Debido a la distribución y tamaño de las regiones cristal<u>i</u>
nas la fusión varia sobre un amplio rango de temperatura, por lo cual, se puede definir ó conocer la estructura y propiedades
del polímero a trayés del proceso de fundido.

DENSIDAD.- Los diferentes métodos de determinación del porcentaje de cristalinidad (Rayos X, IR, RMM,etc.) están directamente relacionados con la estructura molecular del polímero. -- Sin embargo, otras propiedades, tales como la densidad de muestras, aunque menos relacionados con la estructura química, pueden ser utilizadas para medir las zonas cristalinas de compuestos macromoleculares.

Partes de polímeros están más apilados en las regiones --cristalinas que en las amorfas. La densidad de estas últimas es
menor, que la primera,

Si Do y Da representan las densidades de las zonas cristalinas y amorfas respectivamente, la expresión general adoptada por la densidad de un polímero semicristalino es:

en la cual X represente la cristalinidad expresada por la fra-cción en peso de las partes cristalinas en la muestra. Esta relación supone implicitamente que las fases amorfas y cristali-nas son zonas definidas perfectamente en el seno del polímero.
Aunque existe el incoveniente en la dificultad para estimar la

la Do y Da cuando la masa cristalina del polímero ha sido establecida con la ayuda de la difracción de Rayos X, Do puede ser calculada apartir del volumen (Vm) de la malla, del paso molec<u>u</u> lar Mo de la unidad monomérica y del M² de unidades N en la m<u>a</u>

En cuento a la evalución de la Da, se puede realizar por enfriamiento brusco del polímero fundido, la medida de su Da es proporcionada directamente del material amorfo.

A pesar de las incertidumbres que existen en la determinación de la cristelinidad a partir de la densidad de las mues--tras, este método se emplea frecuentemente, ya que no es necesario un dispositivo experimental demasiado complejo ni costoso.

DIFRACCION DE RAYOS X

Los métodos de Rayos X son muy variados, pero tienen su -fundamento en base a el corrimiento de electrones de los orbitales de los átomos. Los átomos son expuestos a un haz de electrones producidos por alto voltaje (20-50KV) ocasionando un haz
con una longitud de onda determinada, es decir, los rayos X son
generados por el impacto de electrones en un blanco metálico -(átomos) en un tubo al vacio, se emplean diversos metales (Ag,
Fe, Cr, Ni, Co, etc.) pero solamente el Cu proporcione las ra-diaciones con longitud de onda con poder de penetración para ma

teriales orgánicos. Ciertamente son dos tipos de energía de radiación la K y K que tienen diferentes energías, que provienen de orbitales 2P y 3P respectivamente para eliminar una de ellas (K) se utilizan filtros de Ni como aislante. La longitud de onde del Cu es de 1.54 Å,

El método de difracción de rayos X es una herramienta muy útil para la investigación del ordenamiento y arregio de étomos y moléculas por medio de la interacción de radiaciones electromagnéticas.

La difracción de rayos X esta regida por la Ley de Bragg, cuando un haz de rayos X incide en la superficie de un cristal a cierto ángulo 0, una perte es dispersada por la capa de átomos de la superficie. La porción no dispersada del haz penetra en una segunda capa de átomos de nuevo una fracción es dispersada y el resto pasa la tercera capa. Figura 13

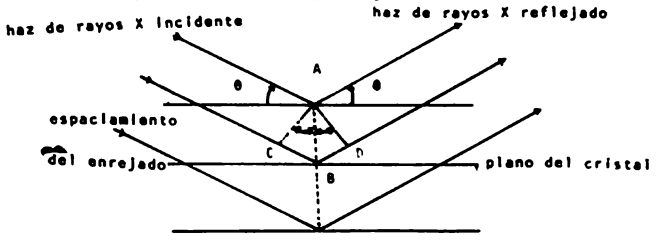


FIG 13

La ley de Bragg esta definida por la siguiente ecuación:

Esta ecuación se deduce de lo siguiente, si observamos la figura 13 . La difracción de un haz estrecho incide en la superficie del cristal con un ángulo 0, hay dispersión como consecuencia de la acción reciproca de la radiación con los átomos situados en los puntos 0, P, R.

SI la distancia AP + PC = N donde N es un número entero, la radición dispersada estara en fase 0, C, D. El cristal refigiará la radiación X y podemos observar que AP = PC = d sen 0 -donde d es la distancia interplanar.

Las técnicas de difracción de rayos X que se emplean para estudio de la cristalinidad de macromoleculas recurren a los -diagramas de polvos cristalinos o a los diagramas de fibras. En
este último caso, las figuras de difracción son semejantes a -las que se obtienen por el método de monocristal-giratorio.

El método de polvos consiste en registrar, para cada grupo de rayos difractados por el plano reticular, el ángulo 9 que lo caracteriza. Las distancias reticulares (interplanares) de --los diferentes planos del cristal son posteriormente calculados con la Ley de Bragg como se menciono anteriormente.

El método de cristal giratorlo consiste en enviar un haz monocromático de rayos X sobre un cristal único que se hace girar, durante la medida, alrededor de uno de sus ejes cristalo-- gráficos, colocado perpendicularmente a la dirección del haz -incidente. De esta manera los planos reticulares desfilan ante
el haz incidente, y cada uno de ellos forma con él, un cierto -momento, un ángulo que satisface la relación de Bragg, y corres
ponde, pues, a una difracción.

A partir de los digramas de cristal-giratorio, es fácil de terminar la distancia de los nudos de la red a lo largo del eje de rotación, es decir, la dimensión de la malla a lo largo de este eje (eje de rotación).

Si los parâmetros de la malla y la naturaleza de la red -son conocidos, es posible construir la red reciproca e identif<u>i</u>
car.

En la práctica, en los diagramas de cristal-giratorio, la medida de la intensidad difractada se hace con la ayuda de la -densidad óptica de placas fotográficas.

HICROSCOPIA.- Le microscopfa electrónica es una herramien ta de gran utilidad para el estudio de la morfología de polímeros cristalinos, metales, etc. Existen técnicas microscópicas - como la óptica que puede ser en campo claro, de fase constante y luz polarizada, que son de gran utilidad. Para el caso de luz polarizada podemos observar esferulitas como areas circulares - birefringentes. Los efectos birefringentes son asociados a la - orientación molecular que resulta de la morfología lamelar característica en las esferulitas. La microscopía electrónica es el instrumento donde podemos observar y deducir micromoléculas completas, arreglos que tienen las formas cristalinas en políme ros utilizando para su observación cuerpos opacos y transparentes.

En los cuerpos opacos (polímeros,metales, etc.) es fre--cuente el estudio de la topografía de superficie, para el caso
de materiales fracturados, en este último caso se utiliza el mi
croscopío electrónico de exploración (SEM) pudiendo observarse
donde se inicia la fractura, así como, poder excurcionar en el
interior de ella, para poder tener una gama amplia en los aumen
tos de los lugares de exploración, estudio de las alteraciones
de superficie incluso también en el interior del material en observación. Todo lo anterior se puede llevar acabo en un microscopío óptico pero no con eficiencia del microscopío de barrido electrónico.

Los microscopios electrónicos los podemos clasificar en 4 tipos según el uso, tomando encuenta el tipo de material en estudios

- a) Transmición.
- b) Reflexión.
- c) Emisión.
- a) Barrido.

El aspecto que caracteriza a este tipo de microscopios es que el objeto en observación es iluminado por un haz de electr<u>o</u> nes.

Al realizar el estudio de una muestra un haz electrónico - muy fino llega sobre un punto de la superficie produciendo una emisión de electrones secundarios, estos electrones son luego - colectados y focalizados para formar una imagen electrónica de este punto. Esto lo podemos comparar con el barrido electrónico del haz incidente que ocurre en un tubo de TV permitiendo re--construir punto por punto de la imagen electrónica, esta imagen se observa en una pantalla de TV en la cual el barrido electrónico esta sincronizado con el haz incidente.

Le imagen electrónica de un objeto es entonces muy semejante a su imagen óptica pero con dos diferencias importantes; la primera que podriamos decir que es una ventaja de este equipo - la posibilidad de obtener aumentos muy grandes (hasta de 300 - 000 aumentos) lo cual es posible debido a la longitud de onda tan corta asociada a los electrones, lo cual permite detallas - del orden de un A.

La segunda ventaja es la gran flexibilidad que tiene en la focalización.

ESFUERZO DE CEDENCIA.- La prueba de tensión uniaxial consiste en deformer un material hasta la ruptura o ha su méxima cadencia. Esta prueba tiene por objeto evaluar la capacidad de carga de un material. Podemos definirla como la fuerza que aplicada a una sección transversal de un material sometido a un alargamiento. Puede usarse la siguiente ecuación:

F = FUERZA A= AREA

Para el caso de materiales como elastomeros, termoplásti-cos, la prueba se lleva acabo con fines de control. Existen dos
tipos de deformaciones para los materiales:

- a) Deformación elástica.
- b) Deformación plástica

La deformación elástica es cuendo se aplica la fuerza y al aliminarla el material recupera su longitud y dimenciones orig<u>i</u> nales.

Deforanción plástica se presenta cuando la muestra se some te a una carga y sobre pasa el límite de elasticidad, es decir, cuando se retira la carga no recupera su longitud ni dimenciones originales.

FRACTURACION AMBIENTAL, - En la naturaleza ninguna substa<u>n</u> cla existe alsiada todas ellas en forma compuesta, mezcla o en su estado elemental estan en contacto unas con otras.

En especial los polímeros que tantes aplicaciones tienen en la actualidad estan en contacto con medios, con todo tipo -- de substancias corrosivas y no corrosivas, tomando en cuenta el uso para lo cual fueron hechos. Por ejemplo el polictileno que se utiliza como recubrimiento de cables esta en contecto con el aire, luz solar, estos medios pueden o no degradarlos provocando fallas en él. Para evitar las fallas es frecuente mezclarlos con otras substancias para darle mejor funcionalidad y mayor resistencia a la presencia de fallas (fracturas, agrietamientos, etc.).

Para determinar si los materiales políméricos producidos por atileno tienen buena resistencia al medio ambiente se le so
mete a pruebas que establescan cual es la resistencia que tie-nen.

El esfuerzo a la ruptura debido al medio ambiente es una prueba que se realiza con fines de control, en la presencia de
medios tales como detergentes, agentes humentantes, aceites, -etc. pueden provocar en el polietileno u otros plásticos una fractura.

8.0 BIBLIOGRAFIA.

- SCHULTZ, J. M.
 Polymer Materials Science Prentice-Hall, Inc.
 USA 1974
- 2) HOBART H. WILLARD
 Instrumental Methods of Analisis
 42 Edición
 1967
- 3) CECIL E. HALL
 Intruction to Electron Microscopy
 Mc Graw Hill
 Book Company Inc. 1955
- 4) DIETER O HUMMEL
 Polymer Spectroscopy
 Vol. 6 1977
- 5) EDWARD A. COLLING, JAN BARES, FRED W. BILLMEYER Jr. Experiments in Polymer Science Ed. Willy Intersciense Publication 1973
- 6) HASLAW, WILLS, SQUIRRELL Identification and Analysis of Plastics 2ª Edición Iliffe Book, London, 1972
- STEIN R. S.
 The Orientation of Polyethylene
 Polymer Sci. 34, 709, { 1959 }.
- 8) EDMARD S. CLARK
 Structure of Cristalline polymers
 Department of Chemical and Metalurgical Engineering
 University of Tennessee

- SILLMEYER, F.W.
 Textbook of Polymer-science
 ^{2a} Edición
 John-Willey and Sons.
 USA 1971
- 10) DAVID J. WILLIAMS
 Polymerscience and Engineering
 Editorial Prentic-Hall inc.
 Englewood Cliff.
 1971
- 11) HULL, D.

 "Microstructure and Properties of Polymers", in: Moleculár Behaviour and Development of Polymeric Materials.

 CHapman and Hell
 N.Y. 1975
- 12) GEILL, P.H.
 Polymer Morphology
 Div. of Polymer Science, Case Western
 Reserve University, Clevendand, Ohio.
- 13) DR. VICTOR CORONADO B. Apuntes de Espectroscopía visible y UV. Facultad de Quimica.
- 14) GEORGES CHAMPETIER, LUCIEN MOMMERIE.
 Intraducción a la química Macromolecular
 Espasa-Calpa, S.A.
 Madrid 1973
- 15) BRYDSON, J.A.
 PLASTICS MATERIALS

Iliffe Book, London, 1966

16) H. F. HARK Y E.H. IMMERGUT

Newer Methods of Polymer Characterization
Volumen 6

Editado por Bacon Ke. Intersciencios Publisherp 1964

17) RAYMOMA B. SEYMOUR Introduction to Polymer Chemistry Mc Graw-Hill Book Company

18) ERICH H. BAYER Química de las materias plásticas Editorial Científica-Médica

Barcelona 1965

1971

19) L.H. PRINCEN Scanning Electron Microscopy of Polymers and Coatings. John Wiley S Sonn N.Y. 19741

PUBLICADO EN LA REVISTA DE LA SOCIEDAD QUIMICA DE MEXICO. PARTICIPO EN EL CONGRESO DE QUIMICA PURA REALIZADO EN ACAPULCO EN 1980.